

# Тестирование по оптике №1

Составил: Пригорный Игорь (210), 2018 г.

## Раздел 1. Геометрическая оптика. Формула тонкой линзы.

Формула тонкой линзы и коэффициент увеличения:<sup>1</sup>

$$\frac{1}{a} + \frac{1}{b} = \frac{1}{F} \quad \Gamma = \frac{b}{a}$$

**1.1** Фокусное расстояние собирающей линзы  $F = 0,2$  м. Если линза дает мнимое изображение объекта с увеличением  $\Gamma = 5$ , то расстояние от объекта до линзы равно ...

Так как изображение мнимое, то  $b$  надо взять со знаком минус:

$$\begin{cases} \frac{1}{a} - \frac{1}{b} = \frac{1}{F} \\ \Gamma = \frac{b}{a} \end{cases} \Rightarrow \begin{cases} \frac{1}{a} - \frac{1}{a\Gamma} = \frac{1}{F} \\ \frac{1}{b} = \frac{1}{a\Gamma} \end{cases}$$

$$\frac{1}{a} \left(1 - \frac{1}{\Gamma}\right) \Rightarrow a = F \left(1 - \frac{1}{\Gamma}\right) = 0,2 \left(1 - \frac{1}{5}\right) \approx 0,16 \text{ м}$$

Ответ:  $a = F \left(1 - \frac{1}{\Gamma}\right) \approx 0,16$  м.

**1.2** Фокусное расстояние собирающей линзы  $F = 0,25$  м. Если линза дает действительное изображение такого же размера, то расстояние от объекта до изображения равно ...

Если поставить объект в двойной фокус собирающей линзы, то его изображение будет того же размера:

$$\frac{1}{2F} + \frac{1}{2F} = \frac{1}{F} \quad \Gamma = \frac{2F}{2F} = 1$$

Тогда расстояние от объекта до изображения:

$$L = a + b = 2F + 2F = 4F = 1 \text{ м}$$

Ответ:  $L = 1$  м.

## Раздел 2. Прохождение лучей через линзу.

**2.1** Необходимо указать ход лучей в собирающей линзе.

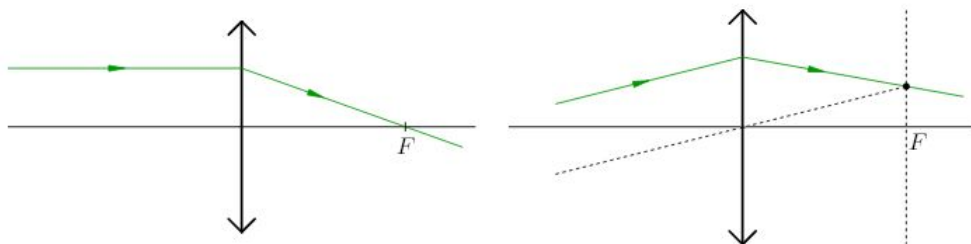


Рис. 1. Ход лучей в собирающей линзе.

**2.2** Необходимо указать ход лучей в рассеивающей линзе.

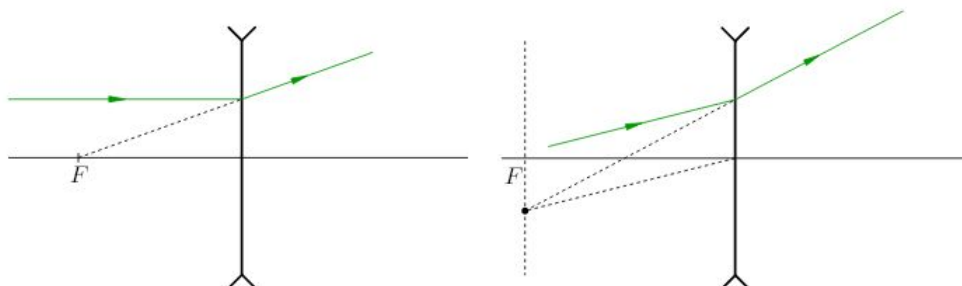


Рис. 2. Ход лучей в рассеивающей линзе.

<sup>1</sup>Здесь  $a$  – расстояние от объекта до линзы,  $b$  – расстояние от линзы до изображения,  $F$  – фокусное расстояние. В случае мнимого изображения,  $b$  необходимо брать со знаком минус.

### Раздел 3. Бегущие и стоячие волны.

**3.1** В пространстве установилась стоячая электромагнитная волна, магнитная компонента которой:

$$\vec{B} = \vec{e}_y B_0 \cos(\omega t) \sin(kx)$$

Учитывая, что  $E_0 > 0$  и  $B_0 > 0$ , указать закон изменения соответствующей электрической компоненты  $\vec{E}$ .

Для решения данной задачи необходимо воспользоваться следующим уравнением Максвелла и следующими линейными материальными уравнениями (в случае, если в задаче фигурируют  $\vec{D}$  или  $\vec{H}$ ):

$$\text{rot } \vec{E} = -\frac{\partial \vec{B}}{\partial t} \quad \vec{D} = \varepsilon \varepsilon_0 \vec{E} \quad \vec{B} = \mu \mu_0 \vec{H}$$

Пусть  $\vec{E} = \vec{e}_x E_x + \vec{e}_y E_y + \vec{e}_z E_z$ , тогда:

$$\begin{aligned} \text{rot } \vec{E} &= \begin{vmatrix} \vec{e}_x & \vec{e}_y & \vec{e}_z \\ \frac{\partial}{\partial x} & \frac{\partial}{\partial y} & \frac{\partial}{\partial z} \\ E_x & E_y & E_z \end{vmatrix} = \vec{e}_x \left( \frac{\partial E_z}{\partial y} - \frac{\partial E_y}{\partial z} \right) + \vec{e}_y \left( \frac{\partial E_x}{\partial z} - \frac{\partial E_z}{\partial x} \right) + \vec{e}_z \left( \frac{\partial E_y}{\partial x} - \frac{\partial E_x}{\partial y} \right) = -\frac{\partial \vec{B}}{\partial t} = \\ &= -\frac{\partial}{\partial t} \vec{e}_y B_0 \cos(\omega t) \sin(kx) = \vec{e}_y B_0 \omega \sin(\omega t) \sin(kx) \end{aligned}$$

В силу единственности разложения по базису, выражения при  $\vec{e}_x$ ,  $\vec{e}_y$  и  $\vec{e}_z$  должны быть равны. Таким образом получаем систему уравнений в частных производных:

$$\begin{cases} \frac{\partial E_z}{\partial y} - \frac{\partial E_y}{\partial z} = 0 \\ \frac{\partial E_x}{\partial z} - \frac{\partial E_z}{\partial x} = B_0 \omega \sin(\omega t) \sin(kx) \\ \frac{\partial E_y}{\partial x} - \frac{\partial E_x}{\partial y} = 0 \end{cases}$$

Следует также учесть, что световая электромагнитная волна – поперечная. Это означает, что  $\vec{E} \perp \vec{B} \perp \vec{v}$ , то есть направления колебания электрической и магнитной компонент, а также направление распространения волны должны быть взаимно перпендикулярны. В условии задачи  $\vec{B} = \vec{e}_y f(x, t)$ , то есть  $\vec{B}$  колеблется вдоль  $\vec{e}_y$  и распространяется вдоль  $\vec{e}_x$ . Тогда, очевидно,  $\vec{E}$  колеблется вдоль  $\vec{e}_z$  и распространяется вдоль  $\vec{e}_x$ . То есть  $\vec{E} = \vec{e}_z f(x, t)$ . Таким образом, из второго уравнения системы будем иметь:

$$\begin{aligned} -\frac{\partial E_z}{\partial x} &= B_0 \omega \sin(\omega t) \sin(kx) \\ \vec{E} &= -\vec{e}_z \int B_0 \omega \sin(\omega t) \sin(kx) dx = \vec{e}_z B_0 \frac{\omega}{k} \sin(\omega t) \cos(kx) \end{aligned}$$

Учитывая, что  $k = 2\pi/\lambda$  и  $\omega = 2\pi/T$ , окончательно имеем:

$$\vec{E} = \vec{e}_z B_0 \frac{2\pi}{T} \frac{\lambda}{2\pi} \sin(\omega t) \cos(kx) = \vec{e}_z B_0 c \sin(\omega t) \cos(kx)$$

Ответ:  $\vec{E} = \vec{e}_z B_0 c \sin(\omega t) \cos(kx)$ .

**3.2** В пространстве установилась бегущая электромагнитная волна, электрическая компонента которой:

$$\vec{E} = \vec{e}_x E_0 \sin(\omega t - kz)$$

Учитывая, что  $E_0 > 0$  и  $H_0 > 0$ , указать закон изменения соответствующей магнитной компоненты  $\vec{H}$ .

Пусть  $\vec{E} = \vec{e}_x E_x + \vec{e}_y 0 + \vec{e}_z 0 = \vec{e}_x E_x$ , тогда:

$$\begin{aligned} \text{rot } \vec{E} &= \begin{vmatrix} \vec{e}_x & \vec{e}_y & \vec{e}_z \\ \frac{\partial}{\partial x} & \frac{\partial}{\partial y} & \frac{\partial}{\partial z} \\ E_x & 0 & 0 \end{vmatrix} = \vec{e}_y \frac{\partial E_x}{\partial z} - \vec{e}_z \frac{\partial E_x}{\partial y} = \vec{e}_y \frac{\partial}{\partial z} E_0 \sin(\omega t - kz) = -\vec{e}_y E_0 k \cos(\omega t - kz) = -\frac{\partial \vec{B}}{\partial t} \\ \vec{H} &= \frac{1}{\mu \mu_0} \vec{B} = \frac{1}{\mu \mu_0} \vec{e}_y \int E_0 k \cos(\omega t - kz) dz = \frac{1}{\mu \mu_0} \vec{e}_y E_0 \frac{k}{\omega} \sin(\omega t - kz) = \vec{e}_y \frac{E_0}{c \mu \mu_0} \sin(\omega t - kz) \end{aligned}$$

Ответ:  $\vec{H} = \vec{e}_y \frac{E_0}{c \mu \mu_0} \sin(\omega t - kz)$ .

## Раздел 4. Электромагнитные волны – 1.

**4.1** В вакууме распространяется плоская электромагнитная волна с частотой  $\nu = 2 \cdot 10^{14}$  Гц. Волновое число  $k$  равно ...

$$k = \frac{2\pi}{\lambda} = \frac{2\pi}{cT} = \frac{2\pi\nu}{c} = \frac{2\pi \cdot 2 \cdot 10^{14}}{3 \cdot 10^8} \approx 4 \cdot 10^6 \text{ м}^{-1}$$

Ответ:  $k = \frac{2\pi\nu}{c} \approx 4 \cdot 10^6 \text{ м}^{-1}$ .

**4.2** В вакууме распространяется плоская электромагнитная волна с длиной волны  $\lambda$ . В произвольной точке изменение фазы волны за промежуток времени  $\delta t = 10^{-15}$  с равно  $\delta\varphi = \pi$  радиан. Длина волны  $\lambda$  равна ...

$$k = \frac{2\pi}{\lambda} = \frac{2\pi}{T} \frac{T}{\lambda} = \omega \frac{T}{\lambda} = \frac{\delta\varphi}{\delta t} \frac{1}{c} \Rightarrow \lambda = 2\pi c \frac{\delta t}{\delta\varphi} = 2\pi \cdot 3 \cdot 10^8 \cdot \frac{10^{-15}}{\pi} \approx 6 \cdot 10^{-7} \text{ м} \approx 0,6 \text{ мкм}$$

Ответ:  $\lambda = 2\pi c \frac{\delta t}{\delta\varphi} \approx 0,6 \text{ мкм}$ .

## Раздел 5. Электромагнитные волны – 2.

Соотношения на электрические и магнитные амплитуды, скорость света и выражение для интенсивности:

$$\begin{aligned} \sqrt{\varepsilon\varepsilon_0}E_0 &= \sqrt{\mu\mu_0}H_0 \\ v &= \frac{c}{n} = \frac{1}{\sqrt{\varepsilon\varepsilon_0\mu\mu_0}} \\ I &= \frac{1}{2}E_0H_0 = \frac{1}{2}\sqrt{\frac{\varepsilon\varepsilon_0}{\mu\mu_0}}E_0^2 = \frac{1}{2}\sqrt{\frac{\mu\mu_0}{\varepsilon\varepsilon_0}}H_0^2 \end{aligned}$$

**5.1** В вакууме распространяется плоская монохроматическая волна интенсивностью  $I_0 = 20$  Дж/(м<sup>2</sup>·с). Найти амплитуду напряженности  $H_0$  магнитного поля. Значения  $\varepsilon_0 = 8,85 \cdot 10^{-12}$  Ф/м,  $\mu_0 = 1,26 \cdot 10^{-6}$  Гн/м даны.

В вакууме  $\varepsilon = \mu = 1$ :

$$I = \frac{1}{2}\sqrt{\frac{\mu_0}{\varepsilon_0}}H_0^2 \Rightarrow H_0 = \sqrt{2I} \cdot \sqrt[4]{\frac{\varepsilon_0}{\mu_0}} = \sqrt{2 \cdot 20} \cdot \sqrt[4]{\frac{8,85 \cdot 10^{-12}}{1,26 \cdot 10^{-6}}} \approx 0,326 \text{ А/м}$$

Ответ:  $H_0 = \sqrt{2I} \cdot \sqrt[4]{\frac{\varepsilon_0}{\mu_0}} \approx 0,326 \text{ А/м}$ .

## Раздел 6. Давление света.

Сила и давление света:<sup>2</sup>

$$\begin{cases} f_{\vec{n}} = (1 + \rho - \tau) \frac{I_0}{c} \delta S \cos^2 \varphi \\ f_{\vec{\tau}} = (1 - \rho - \tau) \frac{I_0}{c} \delta S \frac{\sin 2\varphi}{2} \end{cases}$$
$$w = \frac{dW}{dV} = \frac{dW}{\delta S \cdot c dt} = \frac{I_0}{c} \quad p = \frac{f_{\vec{n}}}{\delta S} = (1 + \rho - \tau) \frac{I_0}{c} \cos^2 \varphi$$

**6.1** Плоская световая волна интенсивности  $I_0$  падает на плоскую зеркальную поверхность с коэффициентом отражения  $\rho = 0,3$ . Угол падения равен  $60^\circ$ . Если давление света на поверхность  $= 0,36$  мкПа, то интенсивность волны равна ...

Поскольку поверхность зеркальная, то коэффициент пропускания  $\tau = 0$ :

$$p = \frac{f_{\vec{n}}}{\delta S} = (1 + \rho) \frac{I_0}{c} \cos^2 \varphi \Rightarrow I_0 = \frac{pc}{1 + \rho} \frac{1}{\cos^2 \varphi} = \frac{0,36 \cdot 10^{-6} \cdot 3 \cdot 10^8}{1 + 0,3} \frac{1}{\cos^2 60^\circ} \approx 332,3 \text{ Дж/(м}^2\cdot\text{с)}$$

Ответ:  $I_0 = \frac{pc}{1 + \rho} \frac{1}{\cos^2 \varphi} \approx 332,3 \text{ Дж/(м}^2\cdot\text{с)}$ .

<sup>2</sup>Здесь  $f_{\vec{n}}$  и  $f_{\vec{\tau}}$  – нормальные и тангенциальные компоненты силы,  $\rho$  – коэффициент отражения,  $\tau$  – коэффициент пропускания,  $I_0$  – интенсивность падающего света,  $w$  – объёмная плотность энергии,  $\delta S$  – элементарная площадка,  $\varphi$  – угол падения.

**6.2** Плоская световая волна интенсивности  $I_0 = 20 \text{ Дж}/(\text{м}^2 \cdot \text{с})$  падает на плоскую зеркальную поверхность площади  $\delta S = 1 \text{ см}^2$  с коэффициентом отражения  $\rho = 0,5$ . Угол падения равен  $45^\circ$ . Сила, действующая на зеркало, равна ...

Поскольку поверхность зеркальная, то коэффициент пропускания  $\tau = 0$ :

$$f = \sqrt{f_n^2 + f_r^2} = \delta S \frac{I_0}{c} \sqrt{(1 + \rho)^2 \cos^4 \varphi + (1 - \rho)^2 \frac{\sin^2 2\varphi}{4}} = \frac{10^{-4} \cdot 20}{3 \cdot 10^8} \cdot \sqrt{(1 + 0,5)^2 \cos^4 45^\circ + (1 - 0,5)^2 \frac{\sin^2 90^\circ}{4}} \approx 5,27 \cdot 10^{-12} \text{ Н}$$

Ответ:  $f = \delta S \frac{I_0}{c} \sqrt{(1 + \rho)^2 \cos^4 \varphi + (1 - \rho)^2 \frac{\sin^2 2\varphi}{4}} \approx 5,27 \cdot 10^{-12} \text{ Н}.$

## Раздел 7. Схема Юнга.

Разность хода и расстояние между максимумами в схеме Юнга:<sup>3</sup>

$$\Delta = \frac{xd}{L} \quad \Delta x = \frac{\lambda L}{d}$$

Вывести формулу для  $\Delta x$  можно из выражения для  $\Delta$ :

$$\begin{cases} \Delta_1 = \frac{x_1 d}{L} = m\lambda \\ \Delta_2 = \frac{x_2 d}{L} = (m+1)\lambda \end{cases} \Rightarrow \Delta_2 - \Delta_1 = \frac{(x_2 - x_1)d}{L} = \lambda \Rightarrow \Delta x = x_2 - x_1 = \frac{\lambda L}{d}$$

**7.1** В схеме Юнга два когерентных источника (длина волны  $\lambda$ ) находятся на расстоянии  $d = 0,4 \text{ мм}$  друг от друга. Ширина интерференционных полос на экране, расположенном на расстоянии  $L = 2 \text{ м}$  от источников, равна  $\Delta x = 5 \text{ мм}$ . Найти длину волны  $\lambda$ .

$$\Delta x = \frac{\lambda L}{d} \Rightarrow \lambda = \Delta x \frac{d}{L} = 5 \cdot 10^{-3} \frac{0,4 \cdot 10^{-3}}{2} \approx 10^{-6} \text{ м} \approx 1 \text{ мкм}$$

Ответ:  $\lambda = \Delta x \frac{d}{L} \approx 1 \text{ мкм}.$

## Раздел 8. Бипризма Френеля.

Разность хода и расстояние между максимумами в схеме с бипризмой Френеля:<sup>4</sup>

$$\Delta = x \cdot 2\alpha(n-1) \cdot \frac{a}{a+b} \quad \Delta x = \frac{\lambda}{2\alpha(n-1)} \frac{a+b}{a}$$

Вообще говоря, формулу для  $\Delta x$  можно вывести из выражения для  $\Delta$  методом как в задаче выше.

**8.1** В интерференционной схеме с бипризмой Френеля расстояние от точечного источника с  $\lambda = 400 \text{ нм}$  до экрана равно  $L_1 = 200 \text{ см}$ . Расстояние от бипризмы с показателем преломления  $n = 1,5$  и преломляющим углом  $\alpha$  до экрана равно  $L_2 = 90 \text{ см}$ . Найти угол бипризмы  $\alpha$ , если ширина интерференционной полосы равна  $\Delta x = 0,12 \text{ мм}$ .

$$\Delta x = \frac{\lambda}{2\alpha(n-1)} \frac{a+b}{a} = \frac{\lambda}{2\alpha(n-1)} \frac{L_1}{L_1 - L_2} \Rightarrow \alpha = \frac{\lambda}{2\Delta x(n-1)} \frac{L_1}{L_1 - L_2} = \frac{400 \cdot 10^{-9}}{2 \cdot 0,12 \cdot 10^{-3} \cdot 0,5} \frac{2}{1,1} \approx 6 \cdot 10^{-3} \text{ радиан}$$

Ответ:  $\alpha = \frac{\lambda}{2\Delta x(n-1)} \frac{L_1}{L_1 - L_2} \approx 6 \cdot 10^{-3} \text{ радиан}.$

## Раздел 9. Временная когерентность.

Время когерентности  $\tau_k$  – время, по истечении которого разность фаз волны  $\delta\varphi$  в некоторой, но одной и той же точке пространства изменяется на  $\pi$ .

Длина когерентности  $l_k$  – расстояние между точками, разность фаз  $\delta\varphi$  в которых  $\pi$ .

При равенстве разности хода  $\Delta$  длине когерентности  $l_k$  функция видности  $V$  обращается в 0, то есть интерференционная картина пропадает.

$$l_k = \frac{\lambda^2}{\Delta\lambda} \quad \tau_k = \frac{\lambda^2}{c\Delta\lambda}$$

<sup>3</sup>Здесь  $d$  – расстояние между щелями,  $L$  – расстояние от экрана с щелями до экрана с интерференционной картиной.

<sup>4</sup>Здесь  $a$  – расстояние от источника до бипризмы,  $b$  – расстояние от бипризмы до экрана,  $\alpha$  – угол в бипризме,  $n$  – коэффициент преломления.

**9.1** Квазимонохроматическое излучение с длиной волны  $\lambda = 600$  нм имеет спектральную ширину линии  $\Delta\lambda = 0,02$  нм. Найти время когерентности излучения.

$$\tau_k = \frac{\lambda^2}{c\Delta\lambda} = \frac{(600 \cdot 10^{-9})^2}{3 \cdot 10^8 \cdot 0,02 \cdot 10^{-9}} \approx 6 \cdot 10^{-11} \text{ с}$$

Ответ:  $\tau_k = \frac{\lambda^2}{c\Delta\lambda} \approx 6 \cdot 10^{-11} \text{ с}$ .

**9.2** Квазимонохроматическое излучение с длиной волны  $\lambda = 690$  нм имеет ширину спектра излучения  $\Delta\omega = 2 \cdot 10^{10} \text{ с}^{-1}$ . Найти спектральную ширину излучения  $\Delta\lambda$ .

$$\lambda = cT \Rightarrow T = \frac{\lambda}{c} \quad \omega = \frac{2\pi}{T} \Rightarrow T = \frac{2\pi}{\omega}$$

$$\Delta\lambda \equiv \hat{\Delta}\lambda = \hat{\Delta}(cT) = \hat{\Delta}\left(\frac{2\pi c}{\omega}\right) = -\frac{2\pi c}{\omega^2} \hat{\Delta}\omega \equiv 2\pi c \frac{\Delta\omega}{\omega^2} = 2\pi c \frac{T^2}{4\pi^2} \Delta\omega = 2\pi c \frac{\lambda^2}{4\pi^2 c^2} \Delta\omega = \frac{\lambda^2}{2\pi c} \Delta\omega$$

$$\Delta\lambda = \frac{(690 \cdot 10^{-9})^2}{2\pi \cdot 3 \cdot 10^8} \cdot 2 \cdot 10^{10} \approx 5 \cdot 10^{-12} \text{ м} \approx 0,005 \text{ нм}$$

Ответ:  $\Delta\lambda = \frac{\lambda^2}{2\pi c} \Delta\omega \approx 0,005 \text{ нм}$ .

## Раздел 10. Преобразование Фурье.

Необходимо указать по формуле сигнала  $f(t)$  его Фурье-образ  $\hat{f}(i\omega)$  и спектральную плотность интенсивности  $S(\omega)$  или наоборот. Как правило, просят указать качественную зависимость (выбрать картинку с графиком).

$$\hat{f}(i\omega) = \int_{-\infty}^{+\infty} f(t)e^{-i\omega t} dt \quad f(t) = \frac{1}{2\pi} \int_{-\infty}^{+\infty} \hat{f}(i\omega)e^{i\omega t} d\omega \quad S(\omega) = \frac{|\hat{f}(i\omega)|^2}{\pi\tau'} \quad I = \int_0^{+\infty} S(\omega) d\omega$$

### 10.1 Сигнал «экспонента»:

$$f(t) = \begin{cases} E_0 e^{-t/2\tau}, & t \geq 0 \\ 0, & t < 0 \end{cases} \quad \hat{f}(i\omega) = \int_{-\infty}^{+\infty} f(t)e^{-i\omega t} dt = \int_0^{+\infty} E_0 e^{-t(1/2\tau + i\omega)} dt = E_0 \frac{e^{-t(1/2\tau + i\omega)}}{-(1/2\tau + i\omega)} \Big|_0^{+\infty} = E_0 \frac{1/2\tau - i\omega}{1/4\tau^2 + \omega^2}$$

$$S(\omega) = \frac{|\hat{f}(i\omega)|^2}{\pi\tau'} = \frac{|\hat{f}(i\omega)|^2}{2\pi\tau} = \frac{E_0^2}{2\pi\tau} \left| \frac{1/2\tau - i\omega}{1/4\tau^2 + \omega^2} \right|^2 = \frac{E_0^2}{2\pi\tau} \frac{1/4\tau^2 + \omega^2}{(1/4\tau^2 + \omega^2)^2} = \frac{E_0^2}{2\pi\tau} \frac{1}{1/4\tau^2 + \omega^2} = E_0^2 \frac{1/2\pi\tau}{(1/2\tau)^2 + \omega^2}$$

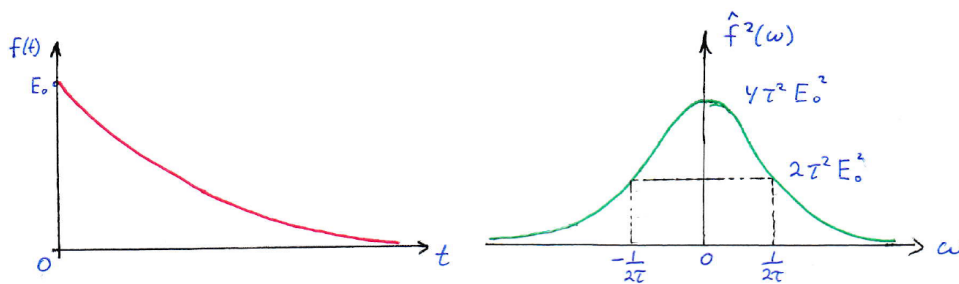


Рис. 3. График сигнала  $f(t)$  (слева) и квадрата<sup>5</sup> его фурье-образа  $|\hat{f}(i\omega)|^2$  (справа).

Таким образом,  $|\hat{f}(i\omega)|^2$  и  $S(\omega)$  у сигнала экспоненты имеют вид функции Лоренца<sup>6</sup>.

### 10.2 Сигнал «модулированная экспонента»:

$$f(t) = \begin{cases} E_0 e^{-t/2\tau} \cos(\omega_0 t), & t \geq 0 \\ 0, & t < 0 \end{cases} \quad \hat{f}(i\omega) = \int_{-\infty}^{+\infty} f(t)e^{-i\omega t} dt = \int_0^{+\infty} E_0 e^{-t(1/2\tau + i\omega)} \cos(\omega_0 t) dt = \int_0^{+\infty} E_0 e^{-t(1/2\tau + i(\omega - \omega_0))} dt =$$

$$= E_0 \frac{e^{-t(1/2\tau + i(\omega - \omega_0))}}{-(1/2\tau + i(\omega - \omega_0))} \Big|_0^{+\infty} = E_0 \frac{1/2\tau - i(\omega - \omega_0)}{1/4\tau^2 + (\omega - \omega_0)^2} \quad S(\omega) = \frac{|\hat{f}(i\omega)|^2}{\pi\tau'} = \frac{|\hat{f}(i\omega)|^2}{2\pi\tau} = E_0^2 \frac{1/2\pi\tau}{(1/2\tau)^2 + (\omega - \omega_0)^2}$$

<sup>5</sup>Очевидно, качественно график спектральной плотности интенсивности  $S(\omega)$  совпадает с графиком квадрата фурье-образа сигнала  $|\hat{f}(i\omega)|^2$ .

<sup>6</sup>Функция Лоренца (она же распределение Коши) имеет колоколообразный вид, но более «острая», чем функция Гаусса.

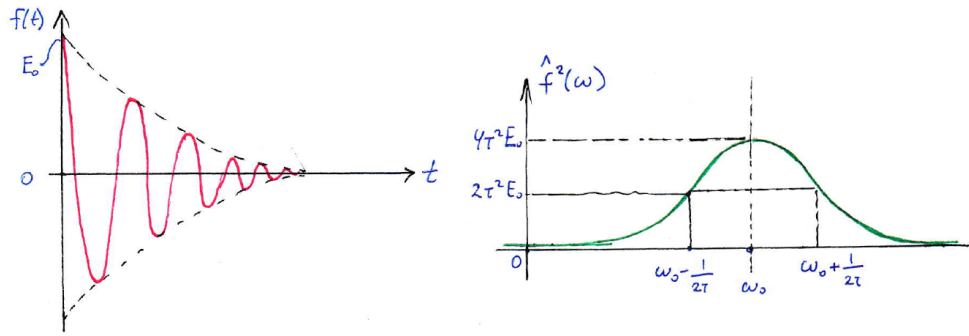


Рис. 4. График сигнала  $f(t)$  (слева) и квадрата его фурье-образа  $|\hat{f}(i\omega)|^2$  (справа).

Таким образом,  $|\hat{f}(i\omega)|^2$  и  $S(\omega)$  у сигнала модулированной экспоненты имеют вид функции Лоренца, смещённой на  $\omega_0$ .

Отметим, что при модулировании любого сигнала  $f(t)$  функцией  $\cos(\omega_0 t)$  её  $|\hat{f}(i\omega)|^2$  и  $S(\omega)$  будут как у исходной, только смещённые вправо на  $\omega_0$ .

$$f(t) \equiv \hat{f}(i\omega) \Rightarrow f(t) \cos(\omega_0 t) \equiv \hat{f}(i(\omega - \omega_0))$$

### 10.3 Сигнал «Гаусс-функция»:

$$\begin{aligned} f(t) &= E_0 e^{-at^2}, \quad a > 0 & \hat{f}(i\omega) &= \int_{-\infty}^{+\infty} f(t) e^{-i\omega t} dt = \hat{f}(i\omega) = \int_{-\infty}^{+\infty} E_0 e^{-at^2 - i\omega t} dt = \int_{-\infty}^{+\infty} E_0 \exp\left(-a\left[t^2 + \frac{i\omega}{a}t\right]\right) dt = \\ &= \int_{-\infty}^{+\infty} E_0 \exp\left(-a\left[t^2 + 2\frac{i\omega}{2a}t + \frac{i^2\omega^2}{4a^2} - \frac{i^2\omega^2}{4a^2}\right]\right) dt = \int_{-\infty}^{+\infty} E_0 \exp\left(-a\left[t + \frac{i\omega}{2a}\right]^2 - \frac{\omega^2}{4a}\right) dt = \left[t + \frac{i\omega}{2a} = y\right] = \\ &= E_0 e^{-\omega^2/4a} \int_{-\infty}^{+\infty} e^{-ay^2} dy = E_0 e^{-\omega^2/4a} \sqrt{\frac{\pi}{a}} & S(\omega) &= \frac{|\hat{f}(i\omega)|^2}{\pi\tau'} = \frac{E_0^2}{a\tau} e^{-\omega^2/2a} \end{aligned}$$

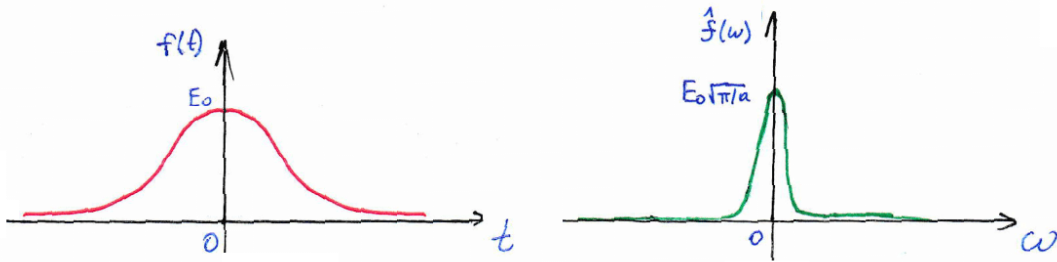


Рис. 5. График сигнала  $f(t)$  (слева) и его фурье-образа  $\hat{f}(i\omega)$  (справа).

Таким образом, Фурье-образ  $\hat{f}(i\omega)$  у сигнала Гаусс-функции имеет тоже вид Гаусс-функции, а квадрат Фурье-образа  $|\hat{f}(i\omega)|^2$  и спектральная плотность интенсивности  $S(\omega)$  имеет вид квадрата Гаусс-функции.

### 10.4 Сигнал «модулированная Гаусс-функция»:

$$f(t) = E_0 e^{-at^2} \cos \omega_0 t, \quad a > 0 \quad \hat{f}(i\omega) = E_0 e^{-(\omega - \omega_0)^2/4a} \sqrt{\frac{\pi}{a}} \quad S(\omega) = \frac{E_0^2}{a\tau} e^{-(\omega - \omega_0)^2/2a}$$

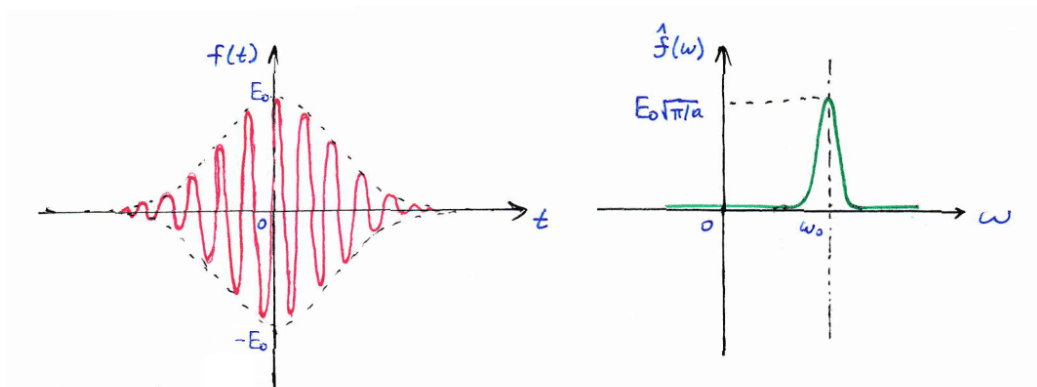


Рис. 6. График сигнала  $f(t)$  (слева) и его фурье-образа  $\hat{f}(i\omega)$  (справа).

Таким образом, Фурье-образ  $\hat{f}(i\omega)$  у сигнала модулированной Гаусс-функции имеет тоже вид Гаусс-функции, смещённой на  $\omega_0$ , а квадрат Фурье-образа  $|\hat{f}(i\omega)|^2$  и спектральная плотность интенсивности  $S(\omega)$  имеет вид квадрата Гаусс-функции, смещённой на  $\omega_0$ .

### 10.5 Прямоугольный волновой пакет («ЦУГ»):

$$f(t) = \begin{cases} E_0, & |t| \leq \tau/2 \\ 0, & |t| > \tau/2 \end{cases} \quad \hat{f}(i\omega) = \int_{-\infty}^{+\infty} f(t)e^{-i\omega t} dt = \int_{-\tau/2}^{+\tau/2} E_0 e^{-i\omega t} dt = E_0 \frac{e^{-i\omega\tau/2} - e^{i\omega\tau/2}}{-i\omega} = E_0 \frac{2 \sin(\omega\tau/2)}{\omega} = E_0 \tau \frac{\sin(\omega\tau/2)}{\omega\tau/2} =$$

$$= E_0 \tau \operatorname{sinc}\left(\omega \frac{\tau}{2}\right) \quad S(\omega) = \frac{|\hat{f}(i\omega)|^2}{\pi\tau'} = \frac{E_0^2 \tau^2}{\pi} \operatorname{sinc}^2\left(\omega \frac{\tau}{2}\right)$$

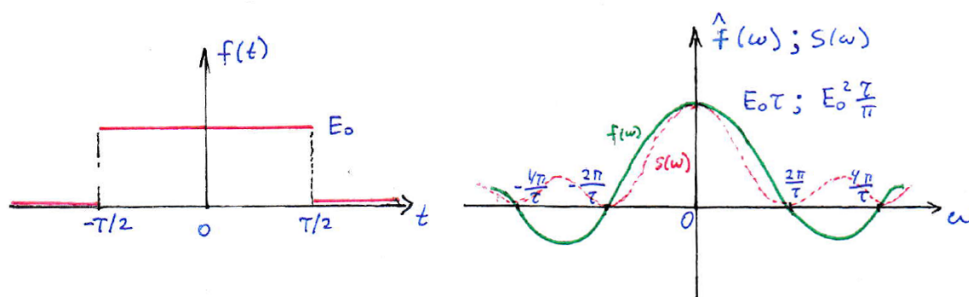


Рис. 7. График сигнала  $f(t)$  (слева) и его фурье-образа  $\hat{f}(i\omega)$  со спектр. плотностью интенсивности  $S\omega$  (справа зелёным и красным соответственно).

Таким образом, Фурье-образ  $\hat{f}(i\omega)$  у сигнала прямоугольного волнового пакета имеет вид «осьминога» (функция синкус), а его квадрат  $|\hat{f}(i\omega)|^2$  и спектральная плотность интенсивности  $S(\omega)$  имеют вид «кракена» (функция синкус в квадрате).

### 10.6 Прямоугольный волновой пакет («ЦУГ») с модуляцией:

$$f(t) = \begin{cases} E_0 \cos \omega_0 t & |t| \leq \tau/2 \\ 0, & |t| > \tau/2 \end{cases} \quad \hat{f}(i\omega) = E_0 \tau \operatorname{sinc}\left((\omega - \omega_0) \frac{\tau}{2}\right) \quad S(\omega) = \frac{E_0^2 \tau^2}{\pi} \operatorname{sinc}^2\left((\omega - \omega_0) \frac{\tau}{2}\right)$$

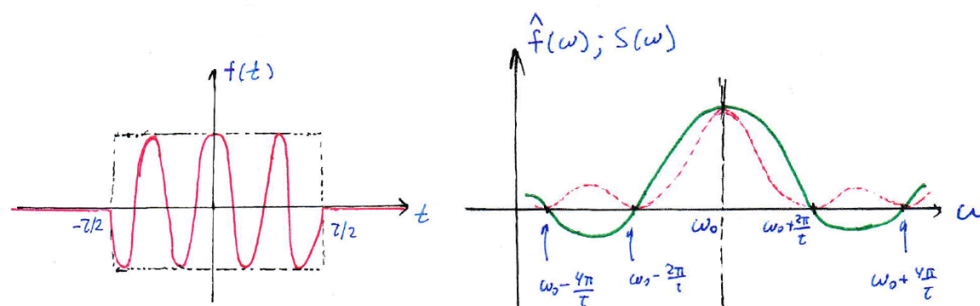


Рис. 8. График сигнала  $f(t)$  (слева) и его фурье-образа  $\hat{f}(i\omega)$  со спектр. плотностью интенсивности  $S\omega$  (справа зелёным и красным соответственно).

Таким образом, Фурье-образ  $\hat{f}(i\omega)$  у сигнала прямоугольного волнового пакета с модуляцией имеет вид смещённого на  $\omega_0$  «осьминога» (функция синкус), а его квадрат  $|\hat{f}(i\omega)|^2$  и спектральная плотность интенсивности  $S(\omega)$  имеют вид смещённого на  $\omega_0$  «кракена» (функция синкус в квадрате).

### Список литературы для самостоятельной подготовки:

1. Информация к семинарам по оптике на [сайте](#) И. В. Митина.
2. Волновые процессы. Основные законы. И. Е. Иродов.
3. Записи [семинаров](#) по оптике В. А. Овчинкина.